

## МАГНИТОГИДРОДИНАМИЧЕСКАЯ ТЕОРИЯ МЕЛКОЙ ВОДЫ ДЛЯ ТЕЧЕНИЙ СТРАТИФИЦИРОВАННОЙ ВРАЩАЮЩЕЙСЯ АСТРОФИЗИЧЕСКОЙ ПЛАЗМЫ. ПРИБЛИЖЕНИЕ БЕТА-ПЛОСКОСТИ, МАГНИТНЫЕ ВОЛНЫ РОССБИ

© 2020 г. М. А. Федотова<sup>a, b, \*</sup>, Д. А. Климачков<sup>a, \*\*</sup>, А. С. Петросян<sup>a, b, \*\*\*</sup>

<sup>a</sup> Институт космических исследований РАН, Москва, Россия

<sup>b</sup> Московский физико-технический институт, Долгопрудный, Московская обл., Россия

\*e-mail: fedotova.maria.04@gmail.com

\*\*e-mail: klimachkovdmitry@gmail.com

\*\*\*e-mail: apetrosoy@iki.rssi.ru

Поступила в редакцию 30.04.2019 г.

После доработки 20.06.2019 г.

Принята к публикации 22.06.2019 г.

Исследуются вращающиеся магнитогидродинамические течения тонкого стратифицированного слоя плазмы в поле силы тяжести со свободной границей во внешнем вертикальном магнитном поле. Получены магнитогидродинамические уравнения в приближении двуслойной мелкой воды во внешнем магнитном поле при разбиении плазмы на два слоя различной плотности. В приближении бета-плоскости получена система уравнений мелкой воды для вращающейся стратифицированной плазмы во внешнем магнитном поле. Для стационарных решений в виде вертикального или горизонтального магнитных полей развита линейная теория, найдены решения в виде волн магнито-Россби и поправок к ним, описывающих эффекты стратификации. Качественный анализ дисперсионных кривых показывает наличие трехволновых нелинейных взаимодействий магнитных волн Россби для каждого из стационарных состояний. Показано существование параметрических неустойчивостей и найдены их инкременты.

DOI: 10.31857/S0367292120010072

### 1. ВВЕДЕНИЕ

Магнитогидродинамическая теория мелкой воды играет важную роль в описании крупномасштабных процессов во вращающихся течениях астрофизической плазмы. Приближение мелкой воды в магнитной гидродинамике плазмы используется для изучения солнечного тахоклина [1–6], атмосфер внесолнечных планет [7], динамики атмосфер нейтронных звезд [8, 9] и растекания материи при дисковой аккреции в нейтронных звездах [10, 11]. Практически, речь идет о развитии идей геофизической гидродинамики на случай вращающейся плазмы с учетом существенных различий в поведении плазменных течений вследствие наличия магнитного поля.

Течения в плазменной астрофизике, так же как течения в геофизике, как правило, являются стратифицированными. Именно изучению фундаментальной роли стратификации в течениях астрофизической плазмы посвящена данная работа. Заметим, что полная система уравнений магнитогидродинамики стратифицированной

плазмы достаточно сложна как для теоретического анализа, так и для численного моделирования. Эффективной моделью для описания непрерывно стратифицированной плазмы является модель *n* слоев плазмы различной плотности, наложенных друг на друга [12, 13]. В настоящей работе мы предлагаем магнитогидродинамические уравнения стратифицированной плазмы в приближении двуслойной мелкой воды. Уравнения, полученные в [14–16], обобщаются в настоящей работе на случай тонкого вращающегося стратифицированного слоя плазмы со свободной границей во внешнем вертикальном магнитном поле. Получены две системы уравнений: уравнения с полным учетом силы Кориолиса и уравнения на бета-плоскости. Полученные магнитогидродинамические уравнения мелкой воды представляют собой единственную возможность самосогласованного учета внешнего магнитного поля и стратификации. Двуслойные магнитогидродинамические уравнения мелкой воды играют такую же важную роль в космической и астрофизической стратифицированной плазме, как и классические

уравнения мелкой воды в гидродинамике нейтральной стратифицированной жидкости [17–19]. Учет стратификации в магнитогиродинамических моделях вращающейся плазмы важен для анализа осцилляций R-моды во вращающихся звездах и на Солнце [21–23] и позволяет существенно расширить возможности для интерпретации имеющихся данных наблюдений крупномасштабных волн Россби на Солнце [24–27].

В нашей работе мы используем развитую теорию двуслойных магнитогиродинамических течений мелкой воды в приближении бета-плоскости для изучения волн магнито-Россби [15, 28]. Волны магнито-Россби – крупномасштабные волны, возникающие вследствие широтных неоднородностей силы Кориолиса в слое плазмы на вращающейся сфере. Волны Россби определяют крупномасштабную динамику Солнца и звезд [29–32], магнитоактивных атмосфер экзопланет, захваченных приливами от родительской звезды [7], и течений в аккреционных дисках и атмосферах нейтронных звезд [9, 34]. Кроме того, волны Россби играют определяющую роль в возникновении зональных течений в двумерной магнитогиродинамической турбулентности и в структуре Земли [35–37]. Крупномасштабные волны Россби в нейтральной жидкости определяют глобальную динамику планетных атмосфер и являются предметом многочисленных исследований в геофизической гидродинамике [17, 18, 20, 33, 38]. В этом случае волны рассматриваются на фоне тривиального стационарного состояния (состояния покоя) и теория таких волн развивается с использованием приближения мелкой воды или геострофического приближения. В нашем случае течений астрофизической плазмы теория волн Россби значительно усложняется вследствие нетривиальных стационарных состояний магнитного поля (например, тороидальное и полоидальное магнитные поля или внешнее вертикальное магнитное поле). Основные результаты относительно волн магнито-Россби получены в линейном приближении [3, 9, 31, 32] с использованием магнитогиродинамической теории мелкой воды для нестратифицированной и несжимаемой плазмы. Отметим важные работы по развитию нелинейной теории магнитных волн Россби [15, 39] а так же теории волн магнито-Россби для случая сжимаемых течений мелкой воды [40]. Все перечисленные явления в плазменной астрофизике изучаются на основе магнитогиродинамического приближения мелкой воды в плазме без учета стратификации.

В настоящей работе с использованием развитой магнитогиродинамической теории двуслойной мелкой воды на бета-плоскости получены законы дисперсии магнито-Россби волн как во внешнем вертикальном магнитном поле, так и в горизонтальном магнитном поле, с учетом плотностной стратификации. Найдено, что поправки

к волнам магнито-Россби, связанные со стратификацией, изменяют фазовые и групповые скорости волн. В случае наличия внешнего магнитного поля, как и в случае его отсутствия, показано выполнение условия синхронизма для трех взаимодействующих волн магнито-Россби и получены уравнения нелинейного взаимодействия. Коэффициенты взаимодействия волн в полученных уравнениях отличаются от коэффициентов в уравнениях для однослойной модели [15] наличием слагаемых, связанных с различием в плотностях слоев плазмы. Показана возможность наличия параметрических неустойчивостей и найдены их инкременты. Полученные результаты для магнито-Россби волн при наличии стратификации играют ключевую роль для понимания динамики различных астрофизических объектов. Например, позволяют детализировать волновую динамику солнечного тахоклина и тем самым уточнить влияние магнитных волн Россби в тахоклине на формирование солнечных сезонов [4, 5, 24, 26, 27, 29].

В разд. 2 получены магнитогиродинамические уравнения вращающейся стратифицированной плазмы в приближении двуслойной мелкой воды во внешнем магнитном поле. В разд. 3 полученные уравнения обобщены на случай сферических течений в приближении бета-плоскости, и получены дисперсионные соотношения волн магнито-Россби с поправками, описывающими эффекты стратификации. В разд. 4 для полученных дисперсионных соотношений показано выполнение условия синхронизма, получены уравнения трехволнового взаимодействия и характеристики параметрических неустойчивостей.

## 2. МАГНИТОГИДРОДИНАМИЧЕСКИЕ УРАВНЕНИЯ СТРАТИФИЦИРОВАННОЙ ВРАЩАЮЩЕЙСЯ ПЛАЗМЫ ВО ВНЕШНЕМ МАГНИТНОМ ПОЛЕ В ПРИБЛИЖЕНИИ ДВУСЛОЙНОЙ МЕЛКОЙ ВОДЫ

Получим магнитогиродинамические уравнения, описывающие стратифицированную плазму в приближении двуслойной мелкой воды. В качестве исходной рассмотрим трехмерную систему магнитогиродинамических уравнений для вращающейся несжимаемой плазмы в поле тяжести [15, 41, 42]

$$\rho \frac{\partial \mathbf{u}}{\partial t} + \rho(\mathbf{u} \cdot \nabla) \mathbf{u} = -\nabla p - \frac{\mathbf{B} \times [\nabla \times \mathbf{B}]}{4\pi} - \quad (1)$$

$$- \rho[\mathbf{f} \times \mathbf{u}] + \rho \mathbf{g},$$

$$\frac{\partial \mathbf{B}}{\partial t} = \nabla \times [\mathbf{u} \times \mathbf{B}], \quad (2)$$

$$\nabla \cdot \mathbf{u} = 0, \quad (3)$$

$$\nabla \cdot \mathbf{B} = 0, \quad (4)$$

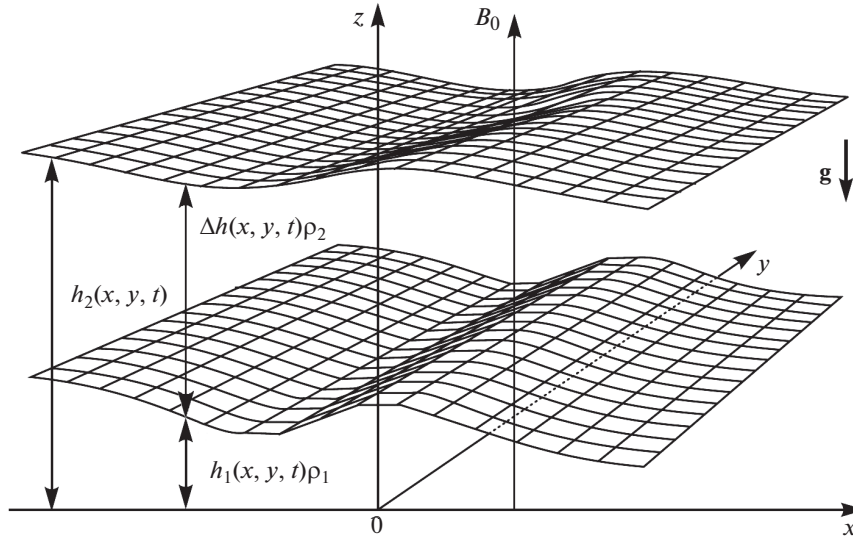


Рис. 1. Геометрия задачи.

где  $\mathbf{u}$  – вектор скорости плазмы в данной точке,  $\mathbf{B}$  – вектор напряженности магнитного поля в плазме,  $\rho$  – плотность,  $\mathbf{f} = (0, 0, f)$ ,  $f = 2\Omega \sin \theta$  – параметр Кориолиса (коэффициент в силе Кориолиса, равный удвоенной проекции угловой скорости вращения плазмы на вертикальную ось),  $\Omega$  – угловая скорость вращения плазмы,  $\theta$  – широта,  $\mathbf{g} = (0, 0, -g)$  – ускорение свободного падения,  $p$  – полное давление, равное сумме гидростатического и магнитного. Первое уравнение системы – уравнение изменения импульса, второе – уравнение переноса магнитного поля, третье – условие бездивергентности поля скоростей, четвертое – условие бездивергентности магнитного поля.

Будем изучать течение тонкого стратифицированного слоя плазмы со свободной границей в однородном поле силы тяжести во вращающейся системе координат при наличии внешнего вертикального магнитного поля  $B_0$  (рис. 1).

Разделим тонкий слой плазмы высотой  $h_2$  на два слоя: нижний слой высоты  $h_1$  с постоянной плотностью  $\rho_1$  и верхний слой высоты  $\Delta h = h_2 - h_1$  с постоянной плотностью  $\rho_2$ . Для вывода двухслойных уравнений мелкой воды запишем исходную систему (1)–(4) для каждого из слоев и проинтегрируем по вертикальной координате в пределах от 0 до  $h_1$  для нижнего слоя и от  $h_1$  до  $h_2$  для верхнего слоя. Считаем высоты каждого слоя много меньше характерных линейных горизонтальных масштабов задачи. В этом случае полное давление (сумма гидростатического и магнитного) считаем гидростатическим, пренебрегая вертикальными ускорениями. В результате получим магнитогидродинамические уравнения для двух слоев плазмы различной плотности в при-

ближении мелкой воды во внешнем вертикальном магнитном поле.

Запишем уравнения (1) и (2) для каждого слоя плазмы в матричном виде

$$\begin{aligned} & \partial_t \begin{pmatrix} \rho_i u_{1i} \\ \rho_i u_{2i} \\ \rho_i u_{3i} \\ \tilde{B}_i \\ \tilde{B}_{2i} \\ \tilde{B}_{3i} \end{pmatrix} + \partial_x \begin{pmatrix} \rho_i u_{1i}^2 - \tilde{B}_i^2 + \tilde{p}_i \\ \rho_i u_{1i} u_{2i} - \tilde{B}_i \tilde{B}_{2i} \\ \rho_i u_{1i} u_{3i} - \tilde{B}_i \tilde{B}_{3i} \\ 0 \\ u_{1i} \tilde{B}_{2i} - u_{2i} \tilde{B}_{1i} \\ u_{1i} \tilde{B}_{3i} - u_{3i} \tilde{B}_{1i} \end{pmatrix} + \\ & + \partial_y \begin{pmatrix} \rho_i u_{1i} u_{2i} - \tilde{B}_i \tilde{B}_{2i} \\ \rho_i u_{2i}^2 - \tilde{B}_{2i}^2 + \tilde{p}_i \\ \rho_i u_{2i} u_{3i} - \tilde{B}_{2i} \tilde{B}_{3i} \\ u_{2i} \tilde{B}_{1i} - u_{1i} \tilde{B}_{2i} \\ 0 \\ u_{2i} \tilde{B}_{3i} - u_{3i} \tilde{B}_{2i} \end{pmatrix} + \\ & + \partial_z \begin{pmatrix} \rho_i u_{1i} u_{3i} - \tilde{B}_i \tilde{B}_{3i} \\ \rho_i u_{2i} u_{3i} - \tilde{B}_{2i} \tilde{B}_{3i} \\ \rho_i u_{3i}^2 - \tilde{B}_{3i}^2 + \tilde{p}_i \\ u_{3i} \tilde{B}_{1i} - u_{1i} \tilde{B}_{3i} \\ u_{3i} \tilde{B}_{2i} - u_{2i} \tilde{B}_{3i} \\ 0 \end{pmatrix} = \begin{pmatrix} \rho_i f u_{2i} \\ -\rho_i f u_{1i} \\ 0 \\ 0 \\ 0 \end{pmatrix}, \end{aligned} \quad (5)$$

где  $\rho_i$  – плотность,  $\tilde{p}_i = p_i + B_i^2/8\pi$  – магнитогидродинамическое давление в слое,  $\tilde{B}_i, \tilde{B}_{2i}, \tilde{B}_{3i}$  – компоненты напряженности магнитного поля в слое ( $\tilde{\mathbf{B}}^2 = \mathbf{B}^2/4\pi$ ),  $u_{1i}, u_{2i}, u_{3i}$  – компоненты скорости в слое; здесь и далее индекс  $i = 1$  соответствует нижнему слою, а индекс  $i = 2$  соответствует верхнему слою.

Запишем граничные условия для каждого слоя плазмы во внешнем вертикальном магнитном поле. Граничные условия для поля скорости имеют следующий вид:

$$u_3|_{z=0} = 0, \quad (6)$$

$$u_3|_{z=h_i} = \partial_t h_i + u_1|_{z=h_i} \partial_x h_i + u_2|_{z=h_i} \partial_y h_i. \quad (7)$$

В качестве граничного условия для поля скоростей на дне используем условие непротекания (6). Граничное условие на границе между слоями описывает условие равенства вертикальной компоненты скорости нижнего слоя и скорости перемещения границы между слоями (в (7) индекс  $i = 1$ ). Граничное условие на свободной границе соответствует условию равенства вертикальной компоненты скорости верхнего слоя и скорости перемещения свободной границы (в (7) индекс  $i = 2$ ).

Граничные условия для магнитного поля имеют следующий вид:

$$B_3|_{z=0} = B_0, \quad (8)$$

$$B_3|_{z=h_i} = B_1|_{z=h_i} \partial_x h_i + B_2|_{z=h_i} \partial_y h_i + B_0. \quad (9)$$

Здесь и далее  $B_i = \tilde{B}_i \rho^{-1/2}$ .

В случае когда внешнее поле отсутствует ( $B_0 = 0$  в уравнениях (8), (9)), граничные условия для вертикальной составляющей магнитного поля  $B_3$  на поверхностях  $z = h_1$  и  $z = h_2$  задаются условием параллельности вектора поля границе между слоями  $h_i(x, y)$  и верхней границе  $h_2(x, y)$  соответственно и представляют собой сумму горизонтальных компонент  $B_i$ , домноженных на соответствующие тангенсы углов  $\partial h_i / \partial x$  и  $\partial h_i / \partial y$ . Таким образом, на дне при  $z = 0$  вертикальная компонента магнитного поля  $B_3 = 0$  (8). При наложении внешнего вертикального магнитного поля в граничные условия на вертикальную компоненту поля  $B_3$  на поверхностях  $z = 0$  (8),  $z = h_i$  (9) необходимо добавить слагаемое  $B_0$ .

Запишем условие гидростатичности для полного давления в каждом слое в следующем виде:

$$\partial_z \left( p_i + \frac{\rho_i}{2} B_i^2 \right) = -\rho_i g. \quad (10)$$

Используем данное уравнение для получения выражений для давлений на дне тонкого слоя плазмы высотой  $h_2$  и на границе между слоями плазмы различной плотности, а также распределения давления в слоях  $h_1$  плотности  $\rho_1$  и  $\Delta h = h_2 - h_1$  плотности  $\rho_2$ . Для этого проинтегрируем уравнение (10) по координате  $z$  для нижнего слоя в пределах от 0 до  $h_1$ , а для верхнего слоя в пределах от  $h_1$  до  $h_2$

$$\int_{a_i}^{h_i} \partial_z \tilde{p}_i dz = - \int_{a_i}^{h_i} \rho_i g dz, \quad (11)$$

здесь и далее индекс  $i = 1$  соответствует нижнему слою, в котором  $a_i = 0$ ,  $h_i = h_1$ , а индекс  $i = 2$  соответствует верхнему слою, в котором  $a_i = h_1$ ,  $h_i = h_2$ .

Считая давление на свободной границе постоянным  $p|_{z=h_2} = p_0$ , из уравнения (11) находим давление на границе между слоями  $\tilde{p}|_{h_i}$ :

$$\tilde{p}|_{h_i} = p_0 + \rho_2 g (h_2 - h_1). \quad (12)$$

Давление  $\tilde{p}_2(z)$  в верхнем слое плазмы плотности  $\rho_2$  находим из уравнения (11), заменив верхний предел интегрирования  $h_2$  на  $z$

$$\tilde{p}_2(z) = p_0 + \rho_2 g (h_2 - z). \quad (13)$$

Аналогично из уравнения (11) находим давление на дне  $\tilde{p}|_0$  и давление  $\tilde{p}_1(z)$  в нижнем слое плазмы плотности  $\rho_1$

$$\tilde{p}|_0 = p_0 + \rho_2 g (h_2 - h_1) + \rho_1 g h_1, \quad (14)$$

$$\tilde{p}_1(z) = p_0 + \rho_2 g (h_2 - h_1) + \rho_1 g (h_1 - z). \quad (15)$$

При интегрировании уравнений (5) используем правило дифференцирования Лейбница и выражения для давлений, полученные выше (12)–(15).

Проинтегрируем условие бездивергентности поля скоростей в пределах от 0 до  $h_1$  для нижнего слоя (индекс  $i = 1$ ) и от  $h_1$  до  $h_2$  для верхнего слоя (индекс  $i = 2$ ):

$$\begin{aligned} \frac{\partial}{\partial x} \int_{a_i}^{h_i} u_{1i} dz - u_{1i}|_{z=h_i} \frac{\partial h_i}{\partial x} + u_{1i}|_{z=a_i} \frac{\partial a_i}{\partial x} + \frac{\partial}{\partial y} \int_{a_i}^{h_i} u_{2i} dz - \\ - u_{2i}|_{z=h_i} \frac{\partial h_i}{\partial y} + u_{2i}|_{z=a_i} \frac{\partial a_i}{\partial y} + u_{3i}|_{z=h_i} - u_{3i}|_{z=a_i} = 0. \end{aligned}$$

С учетом граничных условий (6), (7) получим следующие уравнения непрерывности для каждого из слоев:

$$\frac{\partial (h_i - a_i)}{\partial t} + \frac{\partial}{\partial x} \int_{a_i}^{h_i} u_{1i} dz + \frac{\partial}{\partial y} \int_{a_i}^{h_i} u_{2i} dz = 0. \quad (16)$$

Интегрируя аналогичным образом условия бездивергентности магнитного поля в нижнем и верхнем слоях плазмы во внешнем магнитном поле и используя граничные условия (8), (9), получим следующие соотношения:

$$\frac{\partial}{\partial x} \int_{a_i}^{h_i} B_{1i} dz + \frac{\partial}{\partial y} \int_{a_i}^{h_i} B_{2i} dz = 0.$$

Проинтегрируем также уравнения для магнитного поля для каждого слоя плазмы. Уравнения для горизонтальных компонент магнитного поля имеют вид

$$\begin{aligned} \frac{\partial}{\partial t} \int_{a_i}^{h_i} B_{ji} dz + \frac{\partial}{\partial x} \int_{a_i}^{h_i} (u_{ki} B_{ji} - u_{ji} B_{ki}) dz - \\ - B_0 (u_{ji}|_{h_i} - u_{ji}|_{a_i}) = 0, \end{aligned} \quad (17)$$

где уравнению на  $x$ -компоненту магнитного поля соответствуют индексы  $j = 1, k = 2$ , а уравнению на  $y$ -компоненту магнитного поля соответствуют индексы  $j = 2, k = 1$ ; нижнему слою плазмы соответствуют индекс  $i = 1$  и  $a_i = 0$ , а верхнему слою плазмы соответствуют индекс  $i = 2$  и  $a_i = h_1$ .

Уравнения  $z$ -компоненты магнитного поля для каждого из слоев имеют следующий вид:

$$\frac{\partial}{\partial t} \int_{a_i}^{h_i} B_{3i} dz + \frac{\partial}{\partial x} \int_{a_i}^{h_i} u_{1i} B_{3i} dz + \frac{\partial}{\partial y} \int_{a_i}^{h_i} u_{2i} B_{3i} dz - B_0(u_{3i}|_{h_i} - u_{3i}|_{a_i}) = 0, \quad (18)$$

где индекс  $i = 1$  соответствует нижнему слою плазмы, в котором  $a_i = 0, h_i = h_1$ , а индекс  $i = 2$  соответствует верхнему слою плазмы, в котором  $a_i = h_1, h_i = h_2$ .

Поступим аналогично для уравнений горизонтальных скоростей в системе (5) в каждом из слоев. Проинтегрируем уравнения изменения импульса в каждом слое с учетом граничных условий (6)–(9). Используя выражения для давлений в нижнем слое плазмы (15) и на границе между слоями различной плотности (12), получим

$$\begin{aligned} & \frac{\partial}{\partial t} \int_{a_i}^{h_i} u_{ji} dz + \frac{\partial}{\partial x} \int_{a_i}^{h_i} (u_{ji}^2 - B_{ji}^2) dz + \\ & + \frac{\partial}{\partial y} \int_{a_i}^{h_i} (u_{ji} u_{ki} - B_{ji} B_{ki}) dz + \frac{\rho_2}{\rho_i} g(h_i - a_i) \frac{\partial}{\partial x} H_i + \\ & + g \frac{\partial}{\partial x} \frac{(h_i - a_i)^2}{2} + B_0 B_{ji} = \alpha f \int_{a_i}^{h_i} u_{ki} dz, \end{aligned} \quad (19)$$

где индекс  $i = 1$  соответствует нижнему слою, в котором  $a_i = 0, h_i = h_1, H_i = \Delta h$ , а индекс  $i = 2$  соответствует верхнему слою, в котором  $a_i = h_1, h_i = h_2, H_i = h_1$ ; уравнению на  $x$ -компоненту соответствуют индексы  $j = 1, k = 2$  и  $\alpha = 1$ , а уравнению на  $y$ -компоненту соответствуют индексы  $j = 2, k = 1$  и  $\alpha = -1$ .

Для окончательного вывода магнитогидродинамических уравнений двуслойной мелкой воды введем усредненные по высоте слоев скорости  $u_{qi}$  и магнитные поля  $B_{qi}$  (индекс  $j = 1$  соответствует  $q = x$ ; индекс  $j = 2$  соответствует  $q = y$ ) и представим скорости и магнитные поля в каждом из слоев как сумму усредненных величин и флуктуаций в следующем виде:

$$u_{ji} = u_{qi} + u'_{ji} = \frac{1}{(h_i - a_i)} \int_{a_i}^{h_i} u_{ji} dz + u'_{ji}, \quad (20)$$

$$B_{ji} = B_{qi} + B'_{ji} = \frac{1}{(h_i - a_i)} \int_{a_i}^{h_i} B_{ji} dz + B'_{ji}, \quad (21)$$

где  $u'_{ji}$  – флуктуации скорости в нижнем (индекс  $i = 1$ ) и в верхнем (индекс  $i = 2$ ) слоях;  $B'_{ji}$  – флуктуации магнитного поля в нижнем (индекс  $i = 1$ ) и в верхнем (индекс  $i = 2$ ) слоях.

Подставим выражения (20), (21) в уравнения (16), (17), (19), пренебрегая слагаемыми, включающими флуктуации [12, 43–45]. В результате получим магнитогидродинамические уравнения стратифицированной плазмы в поле силы тяжести в приближении двуслойной мелкой воды во внешнем магнитном поле

$$\left\{ \begin{aligned} & \partial_t (h_i - a_i) + \partial_x [(h_i - a_i) u_{xi}] + \partial_y [(h_i - a_i) u_{yi}] = 0, \\ & \partial_t [(h_i - a_i) u_{xi}] + \partial_x \left[ (h_i - a_i) \left( u_{xi}^2 - B_{xi}^2 + \frac{g(h_i - a_i)}{2} \right) \right] + \frac{\rho_2}{\rho_i} g(h_i - a_i) \partial_x H_i + \\ & + \partial_y [(h_i - a_i) (u_{xi} u_{yi} - B_{xi} B_{yi})] + B_0 B_{xi} = (h_i - a_i) f v_{yi}, \\ & \partial_t [(h_i - a_i) u_{yi}] + \partial_x [(h_i - a_i) (u_{xi} u_{yi} - B_{xi} B_{yi})] + \partial_y \left[ (h_i - a_i) \left( u_{yi}^2 - B_{yi}^2 + \frac{g(h_i - a_i)}{2} \right) \right] + \\ & + \frac{\rho_2}{\rho_i} g(h_i - a_i) \partial_y H_i + B_0 B_{yi} = -(h_i - a_i) f u_{xi}, \\ & \partial_t [(h_i - a_i) B_{xi}] + \partial_y [(h_i - a_i) (B_{xi} u_{yi} - B_{yi} u_{xi})] - B_0 u_{xi} = 0, \\ & \partial_t [(h_i - a_i) B_{yi}] + \partial_x [(h_i - a_i) (B_{yi} u_{xi} - B_{xi} u_{yi})] - B_0 u_{yi} = 0, \\ & \partial_t B_{zi} + B_0 (\partial_x u_{xi} + \partial_y u_{yi}) = 0, \\ & \partial_x B_{xi} + \partial_y B_{yi} = 0, \end{aligned} \right. \quad (22)$$

где индекс  $i = 1$  соответствует нижнему слою, в котором  $a_i = 0$ ,  $h_i = h_1$ ,  $H_i = \Delta h$ , а индекс  $i = 2$  соответствует верхнему слою, в котором  $a_i = h_1$ ,  $h_i = h_2$ ,  $H_i = h_1$ . Первое уравнение – уравнение, описывающее изменение высоты каждого слоя плазмы, второе и третье уравнения – уравнения для усредненных по высоте горизонтальных скоростей, четвертое и пятое уравнения – уравнения для усредненных по высоте горизонтальных магнитных полей.

Отметим, что наличие внешнего вертикально-го магнитного поля  $B_0$  приводит к существенным изменениям горизонтальной динамики магнитного поля в приближении мелкой воды [14]. Уравнения для высоты  $(h_i - a_i)$ , горизонтальных скоростей  $(u_{xi}, u_{yi})$  и магнитных полей  $(B_{xi}, B_{yi})$  представляют собой замкнутую систему, которая используется для дальнейшего исследования. Последние два уравнения в системе (22) обеспечивают условие бездивергентности магнитного поля, которое используется для задания корректных начальных условий. Кроме того, эти уравнения описывают принципиальную трехмерность и осесимметричность магнитных полей в приближении мелкой воды. При внешнем магнитном поле  $B_0 = 0$  уравнения (22) переходят в магнитогидродинамические уравнения стратифицированной плазмы в приближении двуслойной мелкой воды [12, 13]. При равенстве высот и плотностей слоев уравнения (22) переходят в магнитогидродинамические уравнения в приближении однослойной мелкой воды во внешнем

магнитном поле [14], и при  $B_0 = 0$  сводятся к хорошо известным магнитогидродинамическим уравнениям мелкой воды без внешнего магнитного поля [1, 12, 46, 47].

### 3. ПРИБЛИЖЕНИЕ БЕТА-ПЛОСКОСТИ. ВОЛНЫ МАГНИТО-РОССБИ

Ниже будем исследовать сферические течения тонкого слоя несжимаемой вращающейся плазмы в приближении двуслойной мелкой воды в рамках полученных уравнений (22). Эффекты сферичности учитываем в приближении  $\beta$ -плоскости по аналогии с уравнениями нейтральной жидкости [14]. Считаем, что параметр Кориолиса  $f$  слабо меняется при малых изменениях широты. Представим  $f$  в следующем виде:

$$f = 2\Omega \sin \theta \approx 2\Omega \sin \theta_0 + 2\Omega(\theta - \theta_0) \cos \theta_0 \approx f_0 + \beta y, \quad (23)$$

где  $\Omega$  – угловая скорость вращения, равная для обоих слоев,  $f_0 = 2\Omega \sin \theta_0$ ,  $\beta = \partial f / \partial y$ , координата  $y$  отсчитывается по широте в северном направлении и связана с  $\theta$  следующим соотношением  $y = r(\theta - \theta_0)$ , где  $r$  – радиус сферы [18].

В системе (22) дифференцируем уравнения горизонтальных компонент скоростей  $u_{xi}$  по  $y$  с учетом зависимости параметра Кориолиса от широты (23). Считая  $\beta y \ll f_0$ , получим следующие уравнения для стратифицированной вращающейся плазмы на бета-плоскости при наличии внешнего магнитного поля:

$$\left\{ \begin{aligned} & \partial_t(h_i - a_i) + \partial_x[(h_i - a_i)u_{xi}] + \partial_y[(h_i - a_i)u_{yi}] = 0, \\ & \partial_y \partial_t[(h_i - a_i)u_{xi}] + \partial_y \partial_x \left[ (h_i - a_i) \left( u_{xi}^2 - B_{xi}^2 + \frac{g(h_i - a_i)}{2} \right) \right] + \frac{\rho_2}{\rho_i} g \partial_y(h_i - a_i) \partial_x H_i + \\ & + \partial_y^2[(h_i - a_i)(u_{xi}u_{yi} - B_{xi}B_{yi})] + B_0 \partial_y B_{xi} = f_0 \partial_y[(h_i - a_i)v_{yi}] + \beta(h_i - a_i)v_{yi}, \\ & \partial_t[(h_i - a_i)u_{yi}] + \partial_x[(h_i - a_i)(u_{xi}u_{yi} - B_{xi}B_{yi})] + \partial_y \left[ (h_i - a_i) \left( u_{yi}^2 - B_{yi}^2 + \frac{g(h_i - a_i)}{2} \right) \right] + \\ & + \frac{\rho_2}{\rho_i} g(h_i - a_i) \partial_y H_i + B_0 B_{yi} = -(h_i - a_i) f_0 u_{xi}, \\ & \partial_t[(h_i - a_i)B_{xi}] + \partial_y[(h_i - a_i)(B_{xi}u_{yi} - B_{yi}u_{xi})] - B_0 u_{xi} = 0, \\ & \partial_t[(h_i - a_i)B_{yi}] + \partial_x[(h_i - a_i)(B_{yi}u_{xi} - B_{xi}u_{yi})] - B_0 u_{yi} = 0, \end{aligned} \right. \quad (24)$$

где индекс  $i = 1$  соответствует нижнему слою, в котором  $a_i = 0$ ,  $h_i = h_1$ ,  $H_i = \Delta h$ , а индекс  $i = 2$  соответствует верхнему слою, в котором  $a_i = h_1$ ,  $h_i = h_2$ ,  $H_i = h_1$ . Первое уравнение – уравнение, описывающее изменение высоты каждого слоя плазмы, второе и третье уравнения – уравнения для усредненных по высоте горизонтальных скоростей в бета-приближении для силы Кориолиса,

четвертое и пятое уравнения – уравнения для усредненных по высоте горизонтальных магнитных полей.

Волны, вызванные широтной зависимостью силы Кориолиса, принято называть волнами магнито-Россби [19] по аналогии с геофизическими волнами Россби в гидродинамике нейтральной жидкости.

Используем далее уравнения (24) для изучения волн магнито-Россби в стратифицированной плазме в приближении двуслойной мелкой воды на бета-плоскости на фоне стационарного внешнего вертикального магнитного поля. При отсутствии вертикального магнитного поля уравнения (24) переходят в систему магнитогидродинамических уравнений в приближении двуслойной мелкой воды на бета-плоскости, имеют стационарное решение в виде горизонтального (тороидального и полоидального) магнитного поля и будут использованы ниже для изучения волн магнито-Россби.

### 3.1. Линейные волны магнито-Россби во внешнем вертикальном магнитном поле

Рассмотрим течение тонкого стратифицированного слоя плазмы в приближении мелкой воды на бета-плоскости во внешнем вертикальном магнитном поле.

Линеаризуем уравнения (24) на фоне стационарного состояния:

$$h_j = h_{0j} = \text{const}; \quad u_{xj} = u_{yj} = B_{xj} = B_{yj} = 0; \\ B_0 = \text{const}.$$

Из условия равенства нулю детерминанта матрицы линеаризованной системы получим следующее дисперсионное соотношение для волн во вращающейся стратифицированной плазме во внешнем вертикальном магнитном поле в приближении двуслойной мелкой воды на бета-плоскости

$$(\omega^4 - b_1\omega^2 - c_1\omega + d_1)(\omega^4 - b_2\omega^2 - c_2\omega + d_2) = \\ = \frac{\rho_2}{\rho_1} g^2 k^4 h_{01} \Delta h_0 (\omega^2 + q' \omega + q_1)(\omega^2 + q' \omega + q_2), \quad (25)$$

где

$$b_j = \frac{2B_0^2}{(h_{0j} - a_{0j})^2} + f_0^2 + gk^2(h_{0j} - a_{0j}); \\ c_j = \beta g k_x (h_{0j} - a_{0j}); \\ d_j = \frac{B_0^4}{(h_{0j} - a_{0j})^4} + \frac{B_0^2 g k^2}{(h_{0j} - a_{0j})}; \\ q' = \frac{\beta k_x}{k^2}; \quad q_j = \frac{B_0^2}{(h_{0j} - a_{0j})^2},$$

$\omega$  – частота возмущения,  $\mathbf{k} = (k_x, k_y)$  – волновой вектор возмущения,  $\Delta h_0 = h_{02} - h_{01}$ .

Правая часть дисперсионного соотношения (25) описывает эффекты стратификации в двуслойной модели, левая часть является произведением двух выражений, первое из которых соответствует нижнему слою, а второе – верхнему. Строгий теоретический анализ полученного дис-

персионного уравнения (25) не представляется возможным, поэтому ограничимся качественным рассмотрением. В первом приближении выделим волны магнито-Россби в отсутствие стратификации [15]. В случае малого различия в плотностях слоев плазмы представим решение дисперсионного уравнения (25) в виде суммы волны магнито-Россби в отсутствие стратификации и малой поправки, связанной со стратификацией плазмы.

Запишем решение для волны магнито-Россби во внешнем вертикальном магнитном поле в случае отсутствия стратификации в системе. Уравнение (25) при  $\rho_1 = \rho_2$  принимает вид

$$\left[ \omega^4 - \omega^2 \left( \frac{B_0^2}{h_{01}^2} + \frac{B_0^2}{\Delta h_0^2} + f_0^2 \right) + \frac{B_0^4}{h_{01} \Delta h_0^2} \right] \times \\ \times \left[ \omega^4 - \omega^2 \left( \frac{B_0^2}{h_{01}^2} + \frac{B_0^2}{\Delta h_0^2} + f_0^2 + gk^2 H \right) - \omega g H \beta k_x + \right. \\ \left. + \frac{B_0^2}{h_{01} \Delta h_0} \left( \frac{B_0^2}{h_{01} \Delta h_0} + gk^2 \frac{h_{01}^3 + \Delta h_0^3}{h_{01} \Delta h_0} \right) \right] = 0, \quad (26)$$

откуда для волны магнито-Россби при отсутствии стратификации получаем следующее выражение:

$$\omega_{MR_1} \approx \left[ \frac{B_0^2}{h_{01} \Delta h_0} \left( \frac{B_0^2}{h_{01} \Delta h_0} + \frac{gk^2 (h_{01}^3 + \Delta h_0^3)}{h_{01} \Delta h_0} \right) \right] \times \\ \times (\beta k_x g h_{02})^{-1}, \quad (27)$$

где  $h_{02} = h_{01} + \Delta h_0$ . Заметим, что выражение для  $\omega_{MR_1}$  включает в себя в явном виде высоты обоих слоев. При равных высотах слоев  $h_{01} = \Delta h_0 = h/2$  выражение (27) описывает волну магнито-Россби в приближении однослойной мелкой воды [15]:

$$\omega'_{MR_1} \approx 4 \frac{B_0^2}{h^2} \left( 4 \frac{B_0^2}{h^2} + gk^2 h \right) (\beta k_x g h_{02})^{-1}.$$

Найдем поправку к частоте, связанную со стратификацией ( $\rho_1 \neq \rho_2$ ). Перепишем уравнение (25) в следующем виде:

$$\left[ \omega^4 - \omega^2 \left( \frac{B_0^2}{h_{01}^2} + \frac{B_0^2}{\Delta h_0^2} + f_0^2 \right) + \frac{B_0^4}{h_{01} \Delta h_0^2} \right] \times \\ \times \left[ \omega^4 - \omega^2 \left( \frac{B_0^2}{h_{01}^2} + \frac{B_0^2}{\Delta h_0^2} + f_0^2 + gk^2 h_{02} \right) - \right. \\ \left. - \omega g h_{02} \beta k_x + \frac{B_0^2}{h_{01} \Delta h_0} \left( \frac{B_0^2}{h_{01} \Delta h_0} + gk^2 \frac{h_{01}^3 + \Delta h_0^3}{h_{01} \Delta h_0} \right) \right] = (28) \\ = \left( \frac{\rho_2}{\rho_1} - 1 \right) g^2 k^4 h_{01} \Delta h_0 \left( \omega^2 + \frac{\beta k_x}{k^2} \omega + \frac{B_0^2}{h_{01}^2} \right) \times \\ \times \left( \omega^2 + \frac{\beta k_x}{k^2} \omega + \frac{B_0^2}{\Delta h_0^2} \right).$$

Считаем искомую поправку  $\delta_1 = \omega - \omega_{MR_1}$  малой по сравнению с частотой  $\omega_{MR_1}$ . Обозначим в (28) выражение справа, как  $\Phi_1(\rho_2/\rho_1, \omega_{MR_1})$ .

Равенство нулю выражения в первой скобке уравнения (28) дает следующие выражения для квадрата частоты:

$$\omega_{1,2}^2 = \frac{1}{2} \left( f_0^2 + \frac{B_0^2}{h_0^2} + \frac{B_0^2}{\Delta h_0^2} \pm \sqrt{\left( \frac{B_0^2}{h_0^2} - \frac{B_0^2}{\Delta h_0^2} \right)^2 + f_0^2 \left( f_0^2 + \frac{2B_0^2}{h_0^2} + \frac{2B_0^2}{\Delta h_0^2} \right)} \right).$$

Если выражение в первой скобке уравнения (28) не обращается в нуль, находим поправку к волне магнито-Россби во внешнем вертикальном поле, связанную с наличием стратификации:

$$\delta_1 = - \frac{\Phi_1(\rho_2/\rho_1, \omega_{MR_1})}{(\omega_{MR_1}^2 - \omega_1^2)(\omega_{MR_1}^2 - \omega_2^2)g h_{02} \beta k_x}. \quad (29)$$

Запишем фазовую  $v_{ph_{x1}}$  и групповую  $v_{gr_{x1}}$  скорости в направлении  $k_x$  для волны магнито-Россби во внешнем вертикальном магнитном поле в модели двух слоев разной плотности (27), (29)

$$v_{ph_{x1}} = \frac{\omega_{MR_1} + \delta_1}{k_x} = \frac{B_0^2(B_0^2 + gk^2(h_{01}^3 + \Delta h_0^3))}{h_0^2 \Delta h_0^2 h_{02} \beta g k_x^2} + \frac{-\Phi_1(\rho_2/\rho_1, \omega_{MR_1})}{(\omega_{MR_1}^2 - \omega_1^2)(\omega_{MR_1}^2 - \omega_2^2)g h_{02} \beta k_x^2}, \quad (30)$$

$$v_{gr_{x1}} = \frac{\partial(\omega_{MR_1} + \delta_1)}{\partial k_x} = - \frac{B_0^2(B_0^2 + g(h_{01}^3 + \Delta h_0^3))(k_y^2 - k_x^2)}{h_0^2 \Delta h_0^2 h_{02} \beta g k_x^2} + \frac{\partial}{\partial k_x} \left( \frac{-\Phi_1(\rho_2/\rho_1, \omega_{MR_1})}{(\omega_{MR_1}^2 - \omega_1^2)(\omega_{MR_1}^2 - \omega_2^2)g h_{02} \beta k_x} \right). \quad (31)$$

Из (30), (31) видно, что наличие стратификации ( $\rho_2 \neq \rho_1$ ) в системе увеличивает фазовую скорость (30) волны магнито-Россби вдоль направления  $k_x$  в вертикальном магнитном поле и уменьшает ее групповую скорость (31) в данном направлении.

Отметим, что дисперсионное уравнение (26) в отсутствие внешнего магнитного поля сводится к дисперсионному уравнению слоя нейтральной жидкости высоты  $h_{02}$  в приближении мелкой воды [19]

$$(\omega^2 - f_0^2)[\omega^3 - \omega(f_0^2 + gk^2 h_{02}) - gk_x \beta h_{02}] = 0, \quad (32)$$

и его решением является гидродинамическая волна Россби

$$\omega_R = - \frac{gk_x \beta h_{02}}{f_0^2 + gk^2 h_{02}}. \quad (33)$$

Аналогично найдем поправку, связанную со стратификацией, для гидродинамической волны Россби. Дисперсионное соотношение при малом различии в плотностях имеет вид

$$(\omega^2 - f_0^2)[\omega^3 - \omega(f_0^2 + gk^2 h_{02}) - gk_x \beta h_{02}] = \left( \frac{\rho_2}{\rho_1} - 1 \right) g^2 k^4 h_{01} \Delta h_0 \left( \omega + \frac{2\beta k_x}{k^2} \right). \quad (34)$$

Обозначая правую часть как  $\xi(\rho_2/\rho_1, \omega_R)$ , искомую поправку как  $\delta_N = \omega - \omega_R$ , с учетом  $\omega_R^2 \neq f_0^2$ , имеем

$$\delta_N = \frac{\xi(\rho_2/\rho_1, \omega_R)}{(f_0^2 + gk^2 h_{02})(\omega_R^2 - f_0^2)}. \quad (35)$$

Таким образом, показано, что в линейном приближении система уравнений двуслойной мелкой воды во внешнем вертикальном магнитном поле (24) имеет решение в виде волны магнито-Россби. Найдена зависимость дисперсионного уравнения от соотношения плотностей слоев плазмы. Получено, что поправка к частоте, связанная со стратификацией, уменьшает групповую скорость волн магнито-Россби во внешнем вертикальном магнитном поле  $v_{gr_{x1}}$  и увеличивает фазовую скорость  $v_{ph_{x1}}$ . Заметим, что параметр  $\beta$ , описывающий эффекты сферичности, присутствует как в выражении для частоты волны магнито-Россби во внешнем вертикальном магнитном поле без учета стратификации  $\omega_{MR_1}$  (27), так и в выражении для поправки  $\delta_1$  (29), связанной со стратификацией. Однако для гидродинамической волны Россби параметр  $\beta$  отсутствует в поправке  $\delta_N$  (35), связанной со стратификацией.

### 3.2. Линейные волны магнито-Россби в горизонтальном магнитном поле

Перейдем к изучению течений тонкого стратифицированного слоя плазмы в приближении мелкой воды на бета-плоскости в отсутствие внешнего вертикального магнитного поля. Как было указано выше, в этом случае уравнения (24) имеют стационарное решение в виде горизонтального магнитного поля

$$u_{xi} = u_{yi} = 0; \quad h_j = h_{0j} = \text{const}; \\ B_{xi} = B_{x0i} = \text{const}, \quad B_{yi} = B_{y0i} = \text{const}.$$

Из условия равенства нулю детерминанта матрицы линеаризованной системы получим следующее дисперсионное соотношение для волн во

вращающейся стратифицированной плазме в горизонтальном поле в приближении двуслойной мелкой воды на бета-плоскости:

$$\begin{aligned} (\omega^4 - b_1\omega^2 - c_1\omega + d_1)(\omega^4 - b_2\omega^2 - c_2\omega + d_2) = \\ = \frac{\rho_2}{\rho_1} g^2 k^4 h_{01} \Delta h (\omega^2 + q\omega - p_1)(\omega^2 + q\omega - p_2), \end{aligned} \quad (36)$$

где

$$\begin{aligned} b_j &= f_0^2 + 2(k; B)_j^2 + gk^2(h_{0j} - a_{0j}); \\ c_j &= g(h_{0j} - a_{0j})\beta k_x; \end{aligned}$$

$$d_j = (k; B)_j^2((k; B)_j^2 + gk^2(h_{0j} - a_{0j}));$$

$$q = \frac{\beta k_x}{k^2}; \quad p_j = (k; B)_j^2;$$

$$(k; B)_j^2 = (k_x B_{x0j} + k_y B_{y0j})^2,$$

$\omega$  – частота возмущения,  $\mathbf{k} = (k_x, k_y)$  – волновой вектор возмущения,  $\Delta h_0 = h_{02} - h_{01}$ .

Правая часть дисперсионного соотношения (36) описывает эффекты стратификации в двуслойной модели, левая часть является произведением двух выражений, первое из которых соответствует нижнему слою, а второе – верхнему. Строгий теоретический анализ полученного дисперсионного уравнения (36) не представляется возможным, поэтому ограничимся качественным рассмотрением. В первом приближении выделим волны магнито-Россби в отсутствие стратификации [15]. В случае малого различия в плотностях слоев плазмы, представим решение дисперсионного уравнения (36) в виде суммы волны магнито-Россби и малой поправки, связанной со стратификацией плазмы.

Найдем частное решение дисперсионного уравнения (36) для случая равных магнитных полей в слоях  $(k; B)_1 = (k; B)_2 \equiv (k; B)$  в виде волны магнито-Россби в отсутствие стратификации в системе ( $\rho_1 = \rho_2$ ). Тогда уравнение (36) имеет вид

$$\begin{aligned} (\omega^4 - \omega^2(f_0^2 + 2(k; B)^2) + (k; B)^4) \times \\ \times (\omega^4 - \omega^2(f_0^2 + 2(k; B)^2 + gh_{02}k^2) - \omega gh_{02}\beta k_x + \\ + (k; B)^2((k; B)^2 + gh_{02}k^2)) = 0. \end{aligned} \quad (37)$$

Правая скобка в уравнении (37) имеет вид дисперсионного уравнения для одного слоя плазмы высоты  $h_{02}$  в приближении мелкой воды на бета-плоскости

$$\begin{aligned} \omega^4 - \omega^2(f_0^2 + 2(k; B)^2 + gh_{02}k^2) - \\ - \omega gh_{02}\beta k_x + (k; B)^2((k; B)^2 + gh_{02}k^2) = 0, \end{aligned}$$

что существенно отличает течение плазмы в горизонтальном магнитном поле от течения плазмы при наличии внешнего вертикального поля.

Решением этого уравнения является волна магнито-Россби [15]

$$\omega_{MR_2} \approx \frac{(k; B)^2((k; B)^2 + gk^2 h_{02})}{\beta k_x g h_{02}}. \quad (38)$$

В частном случае тороидального магнитного поля дисперсионное соотношение (38) имеет вид [32]

$$\omega_{MR_{2x}} \approx \frac{k_x B_x^2 (k_x^2 B_x^2 + gk^2 h_{02})}{\beta g h_{02}}.$$

Найдем поправку к частоте, связанную со стратификацией ( $\rho_1 \neq \rho_2$ ). Перепишем уравнение (36) в следующем виде:

$$\begin{aligned} (\omega^4 - \omega^2(f_0^2 + 2(k; B)^2) + (k; B)^4) \times \\ \times (\omega^4 - \omega^2(f_0^2 + 2(k; B)^2 + gh_{02}k^2) - \\ - \omega gh_{02}\beta k_x + (k; B)^2((k; B)^2 + gh_{02}k^2)) = \\ = \left(1 - \frac{\rho_2}{\rho_1}\right) g^2 k^2 h_{01} \Delta h_0 \left[ k^2 \omega^4 - 2\beta k_x \omega^3 + \right. \\ \left. + 2(k; B)^2 k^2 \omega^2 + 2(k; B)^2 \beta k_x \omega - (k; B)^4 \right]. \end{aligned} \quad (39)$$

Считаем искомую поправку  $\delta_2 = \omega - \omega_{MR_2}$  малой по сравнению с частотой  $\omega_{MR_2}$ . Обозначим выражение справа, как  $\Phi_2(\rho_2/\rho_1, \omega_{MR_2})$ . Равенство нулю выражения в первой скобке дисперсионного соотношения (39) дает следующие выражения для квадрата частоты:

$$\omega_{3,4}^2 = \frac{f_0^2}{2} + (k; B)^2 \pm f_0 \sqrt{\frac{f_0^2}{4} + (k; B)^2}.$$

Если выражение в первой скобке уравнения (39) не обращается в нуль, получаем поправку к частоте в следующем виде:

$$\delta_2 = - \frac{\Phi_2(\rho_2/\rho_1, \omega_{MR_2})}{(\omega_{MR_2}^2 - \omega_3^2)(\omega_{MR_2}^2 - \omega_4^2) g h_{02} \beta k_x}. \quad (40)$$

Запишем фазовую  $v_{ph_{x2}}$  и групповую  $v_{gr_{x2}}$  скорости в направлении  $k_x$  для волны магнито-Россби в горизонтальном поле в модели двух слоев разной плотности (38), (40)

$$\begin{aligned} v_{ph_{x2}} = \frac{\omega_{MR_2} + \delta_2}{k_x} = \frac{(k; B)^2((k; B)^2 + gk^2 h_{02})}{h_{02} \beta g k_x^2} + \\ + \frac{-\Phi_2(\rho_2/\rho_1, \omega_{MR_2})}{(\omega_{MR_2}^2 - \omega_3^2)(\omega_{MR_2}^2 - \omega_4^2) g h_{02} \beta k_x^2}, \end{aligned} \quad (41)$$

$$\begin{aligned} v_{gr_{x2}} = \frac{\partial(\omega_{MR_2} + \delta_2)}{\partial k_x} = \frac{1}{h_{02} \beta g k_x^2} \times \\ \times \left[ (k; B)((k; B)^2 + 4B_{x0} k_x - (k; B)) + \right. \\ \left. + gh_{02}(2B_{x0} k_x (k_x^2 + k_y^2) + \right. \end{aligned} \quad (42)$$

$$+ 2(k; B)k_x^2 - (k; B)(k_x^2 + k_y^2)] + \\ + \frac{\partial}{\partial k_x} \left( \frac{-\Phi_2(\rho_2/\rho_1, \omega_{MR_2})}{(\omega_{MR_2}^2 - \omega_3^2)(\omega_{MR_2}^2 - \omega_4^2)gh_{02}\beta k_x} \right).$$

Из (41), (42) видно, что наличие стратификации ( $\rho_2 \neq \rho_1$ ) в системе уменьшает групповую скорость (42) волны магнито-Россби вдоль направления  $k_x$ . Фазовая скорость волны магнито-Россби вдоль направления  $k_x$  (41) при очень малых  $k_x$  ( $k_x < 1$ ) увеличивается с ростом отношения плотностей  $\rho_2/\rho_1$ . Однако при  $k_x > 1$  наличие стратификации в системе приводит к заметному уменьшению фазовой скорости волны (41) вдоль  $k_x$ .

Если в дисперсионном соотношении (36) приравнять плотности  $\rho_1 = \rho_2$  и положить внешнее магнитное поле равным нулю ( $B_{x0i} = 0, B_{y0i} = 0$ ), выражение (36) сводится к дисперсионному уравнению для слоя нейтральной жидкости высоты  $h_{02}$  (32) с решением в виде гидродинамической волны Россби в нестратифицированной жидкости (33) и поправкой вследствие стратификации (35).

Таким образом, показано, что в отсутствие внешнего вертикального магнитного поля система (24) в линейном приближении имеет решение в виде волны магнито-Россби в горизонтальном магнитном поле, модифицированной соотношением плотностей слоев плазмы. Найденные поправки к частоте, связанные со стратификацией, изменяют групповую  $v_{grk_2}$  и фазовую  $v_{phk_2}$  скорости волны магнито-Россби. Отметим, что полученные в разделе дисперсионные соотношения для частоты волны магнито-Россби в горизонтальном магнитном поле  $\omega_{MR_1}$  и поправки, связанной со стратификацией  $\delta_1$ , существенно отличаются от аналогичных выражений, полученных для плазмы во внешнем магнитном поле  $\omega_{MR_2}, \delta_2$ . Параметр  $\beta$ , описывающий эффекты сферичности, также присутствует в выражении для частоты волны магнито-Россби в горизонтальном магнитном поле  $\omega_{MR_1}$  (38) и в выражении для поправки к ней  $\delta_1$ , связанной со стратификацией (40), как это было отмечено в случае внешнего вертикального магнитного поля.

#### 4. ТРЕХВОЛНОВЫЕ ВЗАИМОДЕЙСТВИЯ ВОЛН МАГНИТО-РОССБИ. ПАРАМЕТРИЧЕСКИЕ НЕУСТОЙЧИВОСТИ

Исследуем слабонелинейные взаимодействия волн магнито-Россби в двуслойной модели мелкой воды. Для того чтобы оценить возможность межволновых взаимодействий для найденных волн, проанализируем дисперсионные соотношения, полученные в разделе 3. Условие синхро-

низма для трех взаимодействующих волн с волновыми векторами  $\mathbf{k}_1, \mathbf{k}_2$  и  $\mathbf{k}_3$  и частотами  $\omega(\mathbf{k}_1), \omega(\mathbf{k}_2)$  и  $\omega(\mathbf{k}_3)$ , соответственно, имеет вид [15]

$$\omega(\mathbf{k}_1) + \omega(\mathbf{k}_2) = \omega(\mathbf{k}_1 + \mathbf{k}_2); \quad \mathbf{k}_1 + \mathbf{k}_2 = \mathbf{k}_3. \quad (43)$$

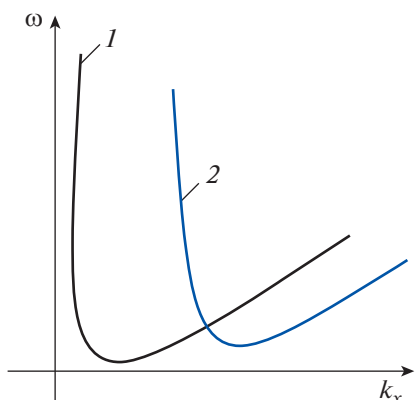
Чтобы определить, существуют ли такие три волны магнито-Россби во внешнем вертикальном магнитном поле (27), (29) и в горизонтальном магнитном поле (38), (40), удовлетворяющие условию синхронизма (43), необходимо изобразить две дисперсионные кривые, смещенные друг относительно друга, для каждого случая. Первое слагаемое  $\omega(\mathbf{k}_1)$  в условии синхронизма (43) задает точку  $(k_1, \omega(k_1))$  на дисперсионной кривой. На смещенной дисперсионной кривой слагаемое  $\omega(\mathbf{k}_2)$  задает точку  $(k_2, \omega(k_2))$ . Если при смещении относительно начала координат одной из дисперсионных кривых она пересечет другую в некоторой точке  $(k_3, \omega(k_3))$ , то это будет означать выполнение условия синхронизма (43). На рис. 2 изображены дисперсионные кривые при наличии внешнего вертикального магнитного поля, на рис. 3 изображены кривые для случая горизонтального магнитного поля.

Как видно из рис. 2 и 3, в случае наличия внешнего магнитного поля и в случае горизонтального магнитного поля условие синхронизма выполняется [48].

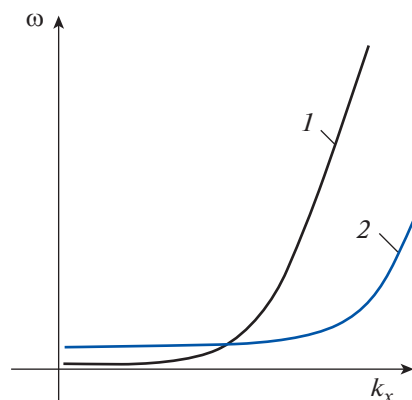
Для изучения трехволновых взаимодействий мы используем асимптотический метод многомасштабных разложений для системы магнито-гидродинамических уравнений (24) стратифицированной плазмы в приближении двуслойной мелкой воды на бета-плоскости во внешнем магнитном поле [14–16]. Поскольку метод многомасштабных разложений широко используется для исследования слабонелинейных взаимодействий, мы ограничимся кратким изложением вывода амплитудных уравнений и приведем полученные выражения для коэффициентов взаимодействий. Представим решение системы уравнений (24) в виде асимптотического ряда по малому параметру  $\epsilon$ :

$$\mathbf{q} = \mathbf{q}_0 + \epsilon \mathbf{q}_1 + \epsilon^2 \mathbf{q}_2 + \dots, \quad (44)$$

где  $\mathbf{q}_0$  – стационарное решение полной системы,  $\mathbf{q}_1$  – решение линеаризованной системы в виде плоской волны с известным законом дисперсии (27), (29) для уравнений мелкой воды во внешнем магнитном поле и законом дисперсии (38), (40) для уравнений мелкой воды в горизонтальном магнитном поле. Слагаемое  $\mathbf{q}_2$  – поправка к решению, описывающая влияние квадратичной нелинейности. Уравнение для поправки  $\mathbf{q}_2$  получается во втором порядке малости по параметру  $\epsilon$ , в правой части которого содержатся резонансные слагаемые, приводящие к линейному росту реше-



**Рис. 2.** Условие синхронизма для волн магнито-Россби во внешнем магнитном поле ( $B_0 \neq 0$ ):  $1 - \omega = \omega(k)$ ,  $2 - \omega = \omega(k - k_{x1}) - \omega(k_{x1})$ .



**Рис. 3.** Условие синхронизма для волн магнито-Россби в отсутствие внешнего магнитного поля ( $B_0 = 0$ ):  $1 - \omega = \omega(k)$ ,  $2 - \omega = \omega(k - k_{x1}) - \omega(k_{x1})$ .

ния по времени и координатам. Таким образом, условие  $\varepsilon^2 q_2 \ll \varepsilon q_1$  на больших масштабах нарушается, поэтому, чтобы исключить влияние резонансных слагаемых, вводим медленно меняющуюся амплитуду, зависящую от медленного времени и больших пространственных масштабов.

Представим решение в виде суммы трех волн магнито-Россби, удовлетворяющих условию синхронизма (43)

$$\begin{aligned} \mathbf{q}_1 &= \mathbf{q}_1(T_1, X_1, Y_1) \exp[i(\omega T_0 - k_x X_0 - k_y Y_0)] = \\ &= \mathbf{f}\mathbf{a}(\mathbf{k}_1) \exp(i\theta_1) + \mathbf{\psi}\mathbf{a}(\mathbf{k}_2) \exp(i\theta_2) + \\ &+ \mathbf{\chi}\mathbf{a}(\mathbf{k}_3) \exp(i\theta_3) + c.c., \end{aligned} \quad (45)$$

где  $\phi, \psi, \chi$  – амплитуды взаимодействующих волн,  $\theta_i = -\omega(\mathbf{k}_i)T_0 + k_{xi}X_0 + k_{yi}Y_0$  – фазы волн,  $\mathbf{a}$  – комплексный вектор волны, сокращение *c.c.* использовано для обозначения комплексно-сопряженных слагаемых.

“Быстрые” переменные ( $T_0, X_0, Y_0$ ) связаны с “медленными” ( $T_1, X_1, Y_1$ ) следующими соотношениями:

$$\begin{aligned} \frac{\partial}{\partial t} &= \frac{\partial}{\partial T_0} + \varepsilon \frac{\partial}{\partial T_1}; & \frac{\partial}{\partial x} &= \frac{\partial}{\partial X_0} + \varepsilon \frac{\partial}{\partial X_1}; \\ \frac{\partial}{\partial y} &= \frac{\partial}{\partial Y_0} + \varepsilon \frac{\partial}{\partial Y_1}. \end{aligned} \quad (46)$$

Подставим в систему (24) магнитогидродинамических уравнений стратифицированной плазмы во внешнем вертикальном магнитном поле в приближении мелкой воды решение (44) с учетом (46) и (45). Во втором порядке малости получим систему линейных неоднородных уравнений с резонансами в правой части. Для исключения резонансных слагаемых воспользуемся условием совместности, заключающемся в ортогональности правой части ядру линейного оператора, стояще-

го в левой части системы уравнений. Таким образом, умножая правую часть на собственный вектор линейного оператора, стоящего в левой части, выпишем последовательно слагаемые, пропорциональные  $e^{i\theta_1}$ ,  $e^{i\theta_2}$  и  $e^{i\theta_3}$ . В результате получим систему для трех амплитуд взаимодействующих пакетов волн магнито-Россби в приближении двуслойной мелкой воды

$$s_1 \phi = f_1 \psi^* \chi, \quad (47)$$

$$s_2 \psi = f_2 \phi^* \chi, \quad (48)$$

$$s_3 \chi = f_3 \phi \psi, \quad (49)$$

где  $s_n$  – дифференциальный оператор по “медленным” аргументам  $T_1, X_1, Y_1$ , а коэффициенты  $f_m$  зависят только от начальных условий и характеристик взаимодействующих волн. Система (47)–(49) описывает трехволновые взаимодействия волн магнито-Россби, удовлетворяющих условию синхронизма (43). Каждое из трех уравнений системы описывает нелинейное влияние величин амплитуд двух взаимодействующих волн на третью волну.

Во внешнем вертикальном магнитном поле дифференциальный оператор  $s_n$  имеет вид

$$s_n = r_n \frac{\partial}{\partial T_1} + p_n \frac{\partial}{\partial X_1} + q_n \frac{\partial}{\partial Y_1},$$

где коэффициент  $r_n$  при производной по медленному времени  $T_1$

$$\begin{aligned} r_n &= \{z_1 a_1 + h_{01}(ik_{yn} z_2 a_3 + z_3 a_4 + z_4 a_5 + z_5 a_6)\} + \\ &+ \{z_6 a_{2-1} + \Delta h_0(ik_{yn} z_7 a_7 + z_8 a_8 + z_9 a_9 + z_{10} a_{10})\}, \end{aligned} \quad (50)$$

коэффициент  $p_n$  при производной по координате  $X_1$

$$p_n = \{h_{01}(z_1 a_3 + z_2 i k_{y_n} g a_1)\} + \frac{\rho_2}{\rho_1} z_2 i k_{y_n} g h_{01} a_{2-1} + \{\Delta h_0(z_6 a_7 + z_7 i k_{y_n} g a_1)\}, \quad (51)$$

а коэффициент  $q_n$  при производной по координате  $Y_1$

$$q_n = \left\{ h_{01}(z_1 a_4 + z_2(-i\omega(\mathbf{k}_n) a_3 + i k_{x_n} g a_1 - \frac{B_0 a_5}{h_{01}} - f_0 a_4) + z_3 g a_1) \right\} + \frac{\rho_2}{\rho_1} a_{2-1} g h_{01} (z_2 i k_{x_n} + z_3) + \left\{ \Delta h_0(z_6 a_8 + z_7(-i\omega(\mathbf{k}_n) a_7 + i k_{x_n} g a_1 - \frac{B_0 a_9}{\Delta h_0} - f_0 a_8) + z_8 a_1) \right\}. \quad (52)$$

В этих коэффициентах  $\mathbf{a} = \mathbf{a}(\mathbf{k}_n)$ ,  $n = 1, 2, 3$ . Здесь и далее  $a_{2-1} = a_2 - a_1$ .

Коэффициенты  $f_m$ , зависящие только от начальных условий и характеристик взаимодействующих волн, имеют следующий вид:

$$f_m = \{L_1\} + \frac{\rho_2}{\rho_1} R + \{L_2\}. \quad (53)$$

Выражение  $L_1$  соответствует нижнему слою плазмы и имеет вид

$$L_1 = 2iz_1[k_{x_m} a_1 a_3 + k_{y_m} a_1 a_4] + z_2[k_{y_m}(2\omega(\mathbf{k}_m) a_1 a_3 - 2k_{x_m}(a_3^* a_3 - a_5^* a_5) - 2k_{y_m}(a_3 a_4 - a_5 a_6) + \alpha g(k_{x_1} a_1 a_1^* - \alpha k_{x_c} a_1^* a_1)) - if_0(k_{y_c} a_1^* a_4 - k_{y_1} a_1 a_4^*) - 2\beta a_1 a_4] + z_3[-2i\omega(\mathbf{k}_m) a_1 a_4 + 2ik_{y_m}(a_4^* a_4 - a_6^* a_6) + 2ik_{x_m}(a_3 a_4 - a_5 a_6) + ik_{y_m} g a_1 a_1^* + 2f_0 a_1 a_3] - 2iz_4[\omega(\mathbf{k}_m) a_1 a_5 + k_{y_m} h_0(a_3 a_6 - a_4 a_5)] - 2iz_5[\omega(\mathbf{k}_m) a_1 a_6 + k_{x_m} h_0(a_4 a_5 - a_3 a_6)].$$

Выражение  $L_2$  соответствует верхнему слою и имеет вид

$$L_2 = 2iz_6[k_{x_m} a_{2-1} a_7 + k_{y_m} a_{2-1} a_8] + z_7[k_{y_m}(2\omega(\mathbf{k}_m) a_{2-1} a_7 - 2k_{x_m}(a_7^* a_7 - a_9^* a_9) - 2k_{y_m}(a_7 a_8 - a_9 a_{10}) + \alpha g(k_{x_1} a_{2-1} a_1^* - \alpha k_{x_c} a_{2-1}^* a_1)) - if_0(k_{y_c} a_{2-1}^* a_8 - k_{y_1} a_{2-1} a_8^*) - 2\beta a_{2-1} a_8] + z_8[-2i\omega(\mathbf{k}_m) a_{2-1} a_8 + 2ik_{y_m}(a_8^* a_8 - a_{10}^* a_{10}) + 2ik_{x_m}(a_7 a_8 - a_9 a_{10}) + ig(k_{y_c} a_1 a_{2-1}^* - k_{y_1} a_1^* a_{2-1}) + 2f_0 a_{2-1} a_7] -$$

$$- 2iz_9[\omega(\mathbf{k}_m) a_{2-1} a_9 + k_{y_m} \Delta h_0(a_7 a_{10} - a_8 a_9)] - 2iz_{10}[\omega(\mathbf{k}_m) a_{2-1} a_{10} + k_{x_m} \Delta h_0(a_8 a_9 - a_7 a_{10})].$$

Выражение  $R$  описывает влияние стратификации и имеет вид:

$$R = g[z_2 \alpha k_{y_m}(k_{x_1} a_1 a_{2-1}^* - \alpha k_{x_c} a_1^* a_{2-1}) + z_3 i(k_{y_c} a_1^* a_{2-1} - k_{y_1} a_{2-1}^* a_1)].$$

Произведения вида  $a_i a_j = [a_i^*(\mathbf{k}_1) a_j(\mathbf{k}_c) + a_i(\mathbf{k}_c) a_j^*(\mathbf{k}_1)]/2$ . Если индекс  $m = 1$ , то индекс  $l = 2$ , индекс  $c = 3$  и множитель  $\alpha = 1$ . Если индекс  $m = 2$ , то индекс  $l = 1$ , индекс  $c = 3$  и множитель  $\alpha = 1$ . Если индекс  $m = 3$ , то индекс  $l = 1$ , индекс  $c = 2$ , множитель  $\alpha = -1$  и  $a_i^* = a(\mathbf{k}_1)$ .

Рассмотрим подробнее коэффициенты взаимодействия (51)–(53). Слагаемые в каждом коэффициенте разделяются на два выражения в фигурных скобках, имеющие схожий вид, и промежуточные слагаемые, включающие в себя отношение плотностей слоев плазмы. Слагаемые в первой фигурной скобке относятся к нижнему слою плазмы, слагаемые, стоящие во второй фигурной скобке, относятся к верхнему. Промежуточные слагаемые описывают эффекты стратификации. При условии равенства нулю одной из высот слоев, равенства плотностей ( $\rho_2 = \rho_1$ ) и компонент  $a_{2-1} = a_1$  комплексного волнового вектора волны  $\mathbf{a}$  коэффициенты (51)–(53) взаимодействия трех волн магнито-Росби во внешнем магнитном поле в приближении двуслойной мелкой воды переходят в коэффициенты для трех взаимодействующих волн магнито-Росби во внешнем вертикальном магнитном поле в однослойной мелкой воде [19].

Рассмотрим далее систему уравнений стратифицированной плазмы в приближении двуслойной мелкой воды в горизонтальном магнитном поле. Аналогично получим систему амплитудных уравнений для трех волн с отличием в коэффициентах  $p_n$  и  $q_n$ :

$$p'_n = \{h_{01}(z_1 a_3 + z_2 i k_{y_n}(g a_1 - a_5 B_{x_{01}}) - B_{x_{01}}(z_3 a_6 + z_4 a_3 + z_5 a_4))\} + \frac{\rho_2}{\rho_1} z_2 i k_{y_n} g h_{01} a_{2-1} + \{\Delta h_0(z_6 a_7 + i k_{y_n} z_7(g a_1 - a_9 B_{x_{02}}) - B_{x_{02}}(z_8 a_{10} + z_9 a_7 + z_{10} a_8))\}. \\ q'_n = \{h_{01}(z_1 a_4 + z_2[-i\omega(\mathbf{k}_n) a_3 - ia_5(B_{x_{01}} k_{x_n} + 2B_{y_{01}} k_{y_n}) + i k_{x_n} g a_1 - f_0 a_4] + z_3 g(a_1 - a_6 B_{y_{01}}) - z_4 a_3 B_{y_{01}} - z_5 a_4 B_{y_{01}})\} + \frac{\rho_2}{\rho_1} a_{2-1} h_{01} g(z_2 i k_{x_n} + z_3) +$$

$$+ \{ \Delta h_0 (z_6 a_8 + z_7 [-i\omega a_7 - ia_9 (B_{x02} k_{x_n} + 2B_{y02} k_{y_n}) + ik_{x_n} g a_1 - f_0 a_8] + z_8 (a_1 - a_{10} B_{y02}) - z_9 a_7 B_{y02} - z_{10} a_8 B_{y02} \}.$$

Здесь, как и в случае с внешним вертикальным магнитным полем, слагаемые в первой фигурной скобке относятся к нижнему слою плазмы, слагаемые, стоящие во второй фигурной скобке относятся к верхнему слою плазмы, а промежуточные слагаемые связаны со стратификацией. Поскольку остальные коэффициенты будут отличаться от аналогичных для внешнего вертикального магнитного поля только компонентами собственного вектора  $\mathbf{z}$ , то для них верны все предыдущие выводы, включая переход к аналогичным коэффициентам воднослойной мелкой воде [15].

Система уравнений (47)–(49) описывает параметрические неустойчивости в обоих рассмотренных случаях как во внешнем вертикальном магнитном поле, так и в горизонтальном поле [15, 16]. Поскольку уравнения трехволновых взаимодействий для стратифицированной жидкости в двуслойном приближении отличаются лишь коэффициентами взаимодействия, то в двуслойной модели реализуются те же самые параметрические неустойчивости, которые были найдены в [15]. Основное отличие в нашем случае заключается в инкрементах параметрических неустойчивостей и пороговых значениях, которые теперь зависят от соотношения плотностей.

В случае когда амплитуда одной из волн много больше амплитуд двух других ( $\phi \gg \psi, \chi$ ,  $\phi = \phi_0$ ) система (47)–(49) принимает вид

$$s_2 \psi = f_2 \phi_0^* \chi,$$

$$s_3 \chi = f_3 \phi_0 \psi.$$

Решение полученной системы ищется в виде  $(\psi, \chi)^T = (\psi', \chi')^T \exp(\Gamma_1 T_1)$ , откуда для инкремента неустойчивости получаем выражение  $\Gamma_1 = \sqrt{|f_2 f_3| / |r_2 r_3|} |\phi_0| > 0$ .

Таким образом, волна магнито-Россби с волновым вектором  $\mathbf{k}_1$  и частотой  $\omega(\mathbf{k}_1)$  распадается на две волны магнито-Россби с волновыми векторами  $\mathbf{k}_2$  и  $\mathbf{k}_3$ , частотами  $\omega(\mathbf{k}_2)$  и  $\omega(\mathbf{k}_3)$  соответственно.

Второй тип параметрической неустойчивости – усиление волнами магнито-Россби с волновыми векторами  $\mathbf{k}_2$  и  $\mathbf{k}_3$ , частотами  $\omega(\mathbf{k}_2)$  и  $\omega(\mathbf{k}_3)$ , соответственно, волны магнито-Россби с волновым вектором  $\mathbf{k}_1$  и частотой  $\omega(\mathbf{k}_1)$ . Данный тип неустойчивости имеет место, когда амплитуда одной из волн много меньше двух других ( $\phi \ll \psi, \chi$ ,

$\psi = \psi_0, \chi = \chi_0$ ). Тогда система (47)–(49) вырождается в уравнение вида

$$s_1 \phi = f_1 \psi_0^* \chi_0.$$

Решение данного уравнения ищется в виде  $\phi = \phi' \exp(\Gamma_2 T_1)$ , откуда для инкремента неустойчивости получаем выражение  $\Gamma_2 = (|f_1| / |r_1|) |\psi_0 \chi_0| > 0$ .

В случае параметрического распада при наличии линейного затухания система (47)–(49) принимает вид

$$s_2 \psi + \eta_2 \psi = f_2 \phi_0^* \chi,$$

$$s_3 \chi + \eta_3 \chi = f_3 \phi_0 \psi,$$

где  $\eta_2, \eta_3$  – линейные коэффициенты затухания амплитуд  $\psi, \chi$  соответственно.

В таком случае существует пороговое значение амплитуды волны накачки  $\phi_{0,cr} = \sqrt{(\eta_2 \eta_3 |r_2 r_3|) / (|f_2 f_3|)}$ , начиная с которого развивается неустойчивость с инкрементом  $\Gamma_1' = \sqrt{(\phi_{0,cr} |f_2 f_3|) / (|r_2 r_3|)}$ .

В случае параметрического усиления при наличии линейного затухания система (47)–(49) вырождается в уравнение вида

$$s_1 \phi + \eta_1 \phi = f_1 \psi_0^* \chi_0,$$

где  $\eta_1$  – линейный коэффициент затухания амплитуды  $\phi$ .

В таком случае существует пороговое значение на произведение амплитуд волн накачки  $(\psi_0^* \chi_0)_{cr} = (\eta_1 |r_1|) / (f_1)$ , начиная с которого развивается неустойчивость с инкрементом  $\Gamma_2' = ((\psi_0^* \chi_0)_{cr} |f_1|) / (|r_1|)$ .

## 5. ЗАКЛЮЧЕНИЕ

Развита нелинейная теория течений тонкого слоя стратифицированной плазмы в поле силы тяжести со свободной границей во внешнем вертикальном магнитном поле при наличии вращения. Получены магнитогидродинамические уравнения в приближении мелкой воды при разбиении плазмы на два слоя различной плотности. В частном случае равенства высот и плотностей каждого слоя магнитогидродинамические уравнения двуслойной мелкой воды сводятся к уравнениям однослойной мелкой воды во внешнем магнитном поле, полученным в [9, 14, 40]. Показано, что, несмотря на двухкомпонентность и двумерность поля скоростей в каждом из слоев, магнитное поле является трехкомпонентным и осесимметричным в приближении мелкой воды.

Развитая теория обобщена на случай сферических течений в приближении бета-плоскости для силы Кориолиса. Показано, что в линейном приближении полученная система допускает реше-

ние в виде волн магнито-Россби, характеристики которых модифицированы соотношением плотностей слоев плазмы. Найдено, что поправка к частоте, связанная со стратификацией, уменьшает групповые скорости волн магнито-Россби во внешнем вертикальном магнитном поле и увеличивает их фазовые скорости.

Полученная система магнитогидродинамических уравнений двуслойной плазмы в приближении мелкой воды при отсутствии внешнего магнитного поля имеет решение в виде стационарного горизонтального магнитного поля. Дисперсионное уравнение в этом приближении также имеет решение в виде волн магнито-Россби, модифицированных соотношением плотностей. Найдено, что поправка к частоте, связанная со стратификацией, также уменьшает групповые скорости волн магнито-Россби. Фазовая скорость демонстрирует более сложное поведение, а именно, при очень малых волновых векторах ( $k_x < 1$ ) поправка к частоте увеличивает фазовую скорость, а затем, при больших значениях волнового вектора, уменьшает.

Качественный анализ полученных дисперсионных соотношений показывает выполнение условия синхронизма для трех взаимодействующих волн как при наличии внешнего магнитного поля, так и в его отсутствие. Методом многомасштабных разложений получены уравнения взаимодействия трех волн в обоих рассмотренных случаях, и показана возможность наличия параметрических неустойчивостей, и найдены их характеристики. Несмотря на универсальность полученных уравнений трехволновых взаимодействий, коэффициенты взаимодействия в полученных уравнениях, и как следствие, характеристики найденных параметрических неустойчивостей различаются для каждого рассмотренного случая.

Работа поддержана Фондом развития теоретической физики и математики “Базис” и грантом РФФИ номер 19-02-00016; выполнена по проекту КП19-270 “Вопросы происхождения и эволюции Вселенной с применением методов наземных наблюдений и космических исследований” программы крупных проектов по проведению фундаментальных научных исследований по приоритетным направлениям, определяемым президиумом РАН.

## СПИСОК ЛИТЕРАТУРЫ

1. *Gilman P.A.* // *Astrophys. J. Lett.* 2000. V. 544 (1). P. L79.  
<https://doi.org/10.1086/317291.B>
2. *Miesch M.S., Gilman P.A.* // *Solar Phys.* 2004. V. 200 (2). P. 287.  
<https://doi.org/10.1023/b:sola.0000031382.93981.2c>
3. *Zaqarashvili T.V., Oliver R., Ballester J.L.* // *Astrophys. J. Lett.* 2009. V. 691. P. L41.  
<https://doi.org/10.1088/0004-637x/691/1/L41>
4. *Dikpati M., Gilman P.A.* // *Astrophys. J.* 2001. V. 551 (1). P. 536.
5. *Dikpati M., McIntosh S.W., Bothun G., Cally P.S., Ghosh S.S., Gilman P.A., Umurhan O.M.* // *Astrophys. J.* 2018. V. 853 (2). P. 144.  
<https://doi.org/10.3847/1538-4357/aaa70d>
6. *Márquez-Artavia X., Jones C.A., Tobias S.M.* // *Geophys. Astrophys. Fluid Dynam.* 2017. V. 111 (4). P. 282.  
<https://doi.org/10.1080/03091929.2017.1301937>
7. *Cho J.Y.-K.* // *Philos. Trans Royal Soc. London Ser. A.* 2008. V. 366 (1884). P. 4477.  
<https://doi.org/10.1098/rsta.2008.0177>
8. *Spitkovsky A., Levin Y., Ushomirsky G.* // *Astrophys. J.* 2002. V. 566. P. 1018.  
<https://doi.org/10.1086/338040>
9. *Heng K., Spitkovsky A.* // *Astrophys. J.* 2009. V. 703. P. 1819.  
<https://doi.org/10.1088/0004-637x/703/2/1819>
10. *Inogamov N.A., Sunyaev R.A.* // *Astron. Lett.* 2010. V. 36. P. 848.  
<https://doi.org/10.1134/s1063773710120029>
11. *Inogamov N.A., Sunyaev R.A.* // *Astron. Lett.* 1999. V. 25. P. 269.
12. *Zeitlin V.* // *Nonlin. Proc. Geophys.* 2013. V. 20. P. 893.  
<https://doi.org/10.5194/npg-20-893-2013>
13. *Hunter S.* *Waves in Shallow Water Magnetohydrodynamics.* Diss. University of Leeds. 2015. <http://etheses.whiterose.ac.uk/11475/>
14. *Klimachkov D.A., Petrosyan A.S.* // *Phys. Lett. A.* 2017. V. 381. P. 106.  
<https://doi.org/10.1016/j.physleta.2016.10.011>
15. *Климачков Д.А., Петросян А.С.* // *ЖЭТФ.* 2017. Т. 152. С. 705.
16. *Климачков Д.А., Петросян А.С.* // *ЖЭТФ.* 2016. Т. 150. С. 602.
17. *Vallis G.K.* *Atmospheric and Oceanic Fluid Dynamics: Fundamentals and Large-Scale Circulation.* Cambridge Univ. Press, 2006.
18. *Должанский Ф.* *Основы геофизической гидродинамики.* Litres, 2018.
19. *Незлин М.В., Снежкин Е.Н.* *Вихри Россби и спиральные структуры: Астрофизика и физика плазмы в опытах на мелкой воде.* М.: Физматлит, 1990.
20. *Онищенко О.Г., Похотелов О.А., Астафьева Н.М.* // *УФН.* 2008. Т. 178 С. 605.  
<https://doi.org/10.3367/UFN.0178.200806c.0605>
21. *Saio H.* // *Astrophys. J.* 1982. V. 256. P. 717.
22. *Sturrock P.A., Bush R., Gough D.O., Scargle J.D.* // *Astrophys. J.* 2015. V. 804. P. 47.  
<https://doi.org/10.1088/0004-637x/804/1/47>
23. *Wolff C.L.* // *Astrophys. J.* 1998. V. 502. P. 961.  
<https://doi.org/10.1086/305934>
24. *McIntosh S.W., Cramer W.J., Pichardo Marcano M., Leamon R.J.* // *Nat. Astron.* 2017. V. 1 (4). P. 0086.  
<https://doi.org/10.1038/s41550-017-0086>

25. *Loeptien B., Gizon L., Birch A.C., Schou J., Proxauf B., Duvall Jr. T.L., Bogart R.S., Christensen U.R.* // *Nat. Astron.* 2018. V. 2 (7). P. 568.  
<https://doi.org/10.1038/s41550-018-0460-x>
26. *Dikpati M., Cally P.S., McIntosh S.W., Heifetz E.* // *Sci. Rep.* 2017. V. 7 (1). P. 14750.  
<https://doi.org/10.1038/s41598-017-14957-x>
27. *Dikpati M., Belucz B., Gilman P.A., McIntosh S.W.* // *Astrophys. J.* 2018. V. 862(2). P. 159.  
<https://doi.org/10.3847/1538-4357/aacefa>
28. *Zaqarashvili T.V., Gurgenchashvili E.* // *Front. Astron. Space Sci.* 2018. V. 6. P. 7.  
<https://doi.org/10.3389/fspas.2018.00007>
29. *Dikpati M., Charbonneau P.* // *Astrophys. J.* 1999. V. 518. P. 508.  
<https://doi.org/10.1086/307269>
30. *Hughes D.W., Rosner R., Weiss N.O.* *The Solar Tachocline.* Cambridge Univ. Press, 2007.
31. *Zaqarashvili T.V., Oliver R., Ballester J. L., Carbonell M., Khodachenko M.L., Lammer H., Leitzinger M., Odert P.* // *Astron. Astrophys.* 2011. V. 532. P. A139.  
<https://doi.org/10.1051/0004-6361/201117122>
32. *Zaqarashvili T.V., Oliver R., Ballester J.L., Schergerashvili B.M.* // *Astron. Astrophys.* 2007. V. 470. P. 815.
33. *Onishchenko O.G., Pokhotelov O.A., Sagdeev R.Z., Shukla P.K., Stenflo L.* // *Nonlin. Proc. Geophys.* 2004. V. 11 (2). P. 241.  
<https://doi.org/10.5194/npg-11-241-2004>
34. *Lovelace R.V.E., Romanova M.M.* // *Fluid Dynam. Res.* 2014. V. 46 (4). P. 041401.  
<https://doi.org/10.1088/0169-5983/46/4/041401>
35. *Зиняков Т.А., Петросян А.С.* // *Письма ЖЭТФ.* 2018. Т. 108. С. 75.
36. *Tobias S.M., Diamond P.H., Hughes D.W.* // *Astrophys. J. Lett.* 2007. V. 667 (1). P. L113.  
<https://doi.org/10.1086/521978>
37. *Hori K., Jones C.A., Teed R.J.* // *Geophys. Res. Lett.* 2015. V. 42 (16). P. 6622.  
<https://doi.org/10.1002/2015gl064733>
38. *Петвиашвили В.И., Похотелов О.А.* *Уединенные волны в плазме и атмосфере.* М.: Энергоатомиздат, 1989.
39. *Raphaldini B., Raupp C.F.M.* // *Astrophys. J.* 2015. V. 799 (1). P. 78.
40. *Климачков Д.А., Петросян А.С.* // *ЖЭТФ.* 2018. Т. 154. С. 1239.
41. *Арцимович Л.А., Сагдеев Р.З.* *Физика плазмы для физиков.* М.: Атомиздат, 1979.
42. *Кадомицев Б.Б.* *Коллективные явления в плазме.* М.: Наука, 1976.
43. *Карельский К.В., Петросян А.С., Тарасевич С.В.* // *ЖЭТФ.* 2011. Т. 140. С. 606.
44. *Karelsky K.V., Petrosyan A.S., Tarasevich S.V.* // *Phys. Scripta.* 2013. V. 155. P. 014024.  
<https://doi.org/10.1088/0031-8949/2013/t155/014024>
45. *Карельский К.В., Петросян А.С., Тарасевич С.В.* // *ЖЭТФ.* 2014. Т. 146. С. 352.
46. *Karelsky K.V., Petrosyan A.S.* // *Fluid Dyn. Res.* 2006. V. 38. P. 339.  
<https://doi.org/10.1016/j.fluiddyn.2006.02.001>
47. *Карельский К.В., Петросян А.С., Черняк А.В.* // *ЖЭТФ.* 2013. Т. 143. С. 779.
48. *Newell A.C.* // *J. Fluid Mech.* 1969. V. 35. P. 255.  
<https://doi.org/10.1017/s0022112069001108>